

طراحی و تحلیل تئوری - تجربی لولای فلکسچر یک سکوی تست سامانه پیشran

علیرضا مختاری^۱، مسعود مسیبی^۲، شهرام یوسفی^۳

۱ کارشناس ارشد، مجتمع دانشگاهی مکانیک و هوافضا، دانشگاه صنعتی مالک‌اشتر، اصفهان

۲ استادیار، مجتمع دانشگاهی مکانیک و هوافضا، دانشگاه صنعتی مالک‌اشتر، اصفهان،
m.mosayebi@mut-es.ac.ir

۳ دانشیار، مجتمع دانشگاهی مکانیک و هوافضا، دانشگاه صنعتی مالک‌اشتر، اصفهان

تاریخ دریافت: ۱۳۹۴/۰۶/۱۹

تاریخ پذیرش: ۱۳۹۵/۰۲/۱۰

چکیده

در سکوهای تست ششم مؤلفه‌ای، به کمک آرایشی از ستون‌های لودسل - فلکسچر، مؤلفه‌های نیرو و گشتاور بردار رانش یک سامانه پیشran اندازه‌گیری می‌شود. در این پژوهش، ابتدا ملاحظات اساسی در فرایند طراحی فلکسچر یک سکوی تست ششم مؤلفه‌ای خاص ارائه شده است و پس از آن، فلکسچری با ساختار هندسی جدید جهت برآوردن این ملاحظات پیشنهاد می‌گردد. در ادامه به کمک قاعده محاسباتی بهینه‌سازی چند بعدی مقید، ابعاد هندسی فلکسچر به دست می‌آید. در گام بعد، فلکسچر طراحی شده به کمک روش المان محدود تحلیل و نتایج با حل تحلیلی مقایسه می‌شود. به منظور صحه‌گذاری نتایج حاصل از تحلیل نظری، مقادیر فرکанс طبیعی و بار بحرانی کمانش فلکسچر به روش تجربی اندازه‌گیری می‌شود. با توجه به برآوردن همزمان تمامی ملاحظات طراحی و تطابق خوب بین نتایج تحلیل نظری و تجربی، طرح فلکسچر پیشنهادی انتخاب مناسبی برای استفاده در سکوی تست سامانه پیشran مدنظر می‌باشد.

واژگان کلیدی

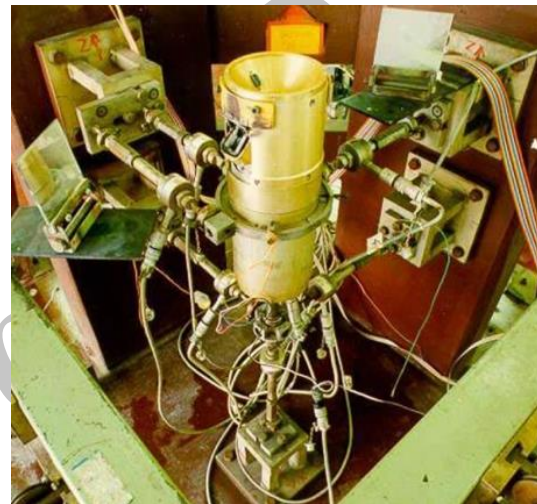
فلکسچر، طراحی بهینه، سکوی تست

۱. مقدمه

انحراف کنترل یا جبران نشود، پرنده از مسیر پرواز خود خارج خواهد شد. در شکل ۱ اجزای گوناگون یک سکوی تست ششم مؤلفه‌ای، که یک سامانه پیشran روی آن نصب شده، نمایش داده شده است [۱]. همان‌گونه که مشاهده می‌شود، در این چیدمان تعداد شش ستون لودسل - فلکسچر^۳ به سامانه پیشran متصل شده است. انتهای دیگر ستون‌های لودسل - فلکسچر به

در سامانه‌های پیشran، هر کجا هدف کنترل بردار رانش^۱ یا بررسی مقدار نامیزانی رانش^۲ باشد، از سکوهای تست ششم مؤلفه‌ای نیرو و گشتاور استفاده می‌شود. نامیزانی یا انحراف بردار رانش هنگامی رخ می‌دهد که نازل ثابت یک سامانه پیشran دچار انحراف از محور گردد. حتی یک انحراف زاویه محوری بسیار کوچک، سبب بروز خطای بزرگی در مدت زمان پرواز خواهد شد و اگر این

قب زمینی متصل شده است. در گذشته از اتصالاتی چون اتصالات لبه کار دی، بیرینگ‌های ضد اصطکاک و اتصالات گوی و کاسه‌ای در سکوهای تست استفاده می‌شد. اما اصطکاک و ترانس‌های ذاتی در این‌گونه اتصالات، کاهش دقت در اندازه‌گیری نیرو را به همراه داشت. در حال حاضر به جای اتصالات فوق، از اتصالاتی بنام فلکسچر، به عنوان لولای الاستیک، برای به حداقل رساندن آثار عکس‌العملی بین نیروها و گشتاورها استفاده می‌شود [۲]. بهمین دلیل فلکسچرها، اجزای اصلی سکوهای تست شش‌مؤلفه‌ای محسوب می‌شوند.



شکل ۱. سکوی تست شش‌مؤلفه‌ای یک سامانه پیشران [۱]

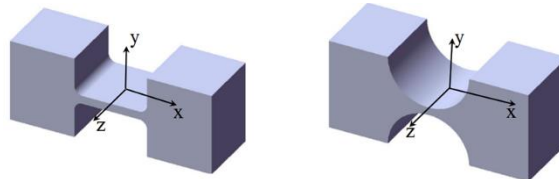
در اکثر پژوهش‌های اخیر، هدف تنها دستیابی به ساختار هندسی فلکسچری با ماکزیمم انعطاف‌پذیری خمی حول یک محور جانبی است. اما در سکوهای تست شش‌مؤلفه‌ای، هدف طراحی فلکسچری است که انعطاف‌پذیری خمی حول دو راستای جانبی داشته باشد. ضمن اینکه ملاحظات طراحی دیگری نیز برای سکوهای تست وجود دارد. در شکل ۲، ساختار هندسی فلکسچرهایی با سطح مقطع دایروی و مستطیلی شکل نمایش داده شده است که دارای انعطاف‌پذیری جانبی، حول تنها محور Z می‌باشد. در شکل ۳ نیز ساختار هندسی فلکسچرهایی با سطح مقطع دایروی و مستطیلی نمایش داده شده است که دارای انعطاف‌پذیری جانبی، حول دو محور X و Z می‌باشد.

در تصاویر منتشرشده از برخی سکوهای تست شش‌مؤلفه‌ای موجود در دنیا، استفاده از فلکسچرهای با ساختارهای هندسی فوق دیده می‌شود. مثلاً راماسومی و همکاران (۱۹۹۷) از طرح فلکسچر با سطح مقطع دایروی شکل با انعطاف‌پذیری حول دو محور جانبی، جهت کاربرد در سکوی تست شش‌مؤلفه‌ای خود استفاده کرده‌اند [۹].

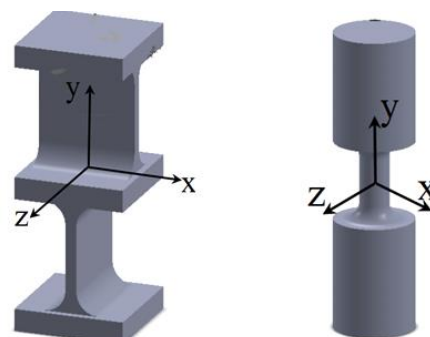
در فرایند طراحی فلکسچر برای یک سکوی تست شش‌مؤلفه‌ای، علاوه بر لزوم رعایت انعطاف‌پذیری جانبی حول دو محور جانبی، رعایت سایر ملاحظات طراحی یک سکو نیز الزامی

مشخصه اصلی فلکسچرها باید به‌گونه‌ای باشد که در راستای محوری تا حد ممکن سختی بالا و در راستاهای جانبی انعطاف‌پذیری بالایی داشته باشند. در این سکوها آثار عکس‌العملی مؤلفه‌های نیرو و گشتاور بر هم سبب بروز خطاهای کوبیلینگ می‌گردد [۳]. به عبارت دیگر، یکی از منابع اصلی ایجاد خطای کوبیلینگ در سکوهای تست، ناشی از عدم تأمین مناسب نسبت انعطاف‌پذیری جانبی به محوری فلکسچرها است. فلکسچرها، با جرم کم و فرکانس طبیعی بالا، نیروی رانش را در جهتی هدایت‌شده‌ای منتقل می‌کنند. در هر ستون لودسل - فلکسچر، یک لودسل قرار می‌گیرد تا نیروی محوری را اندازه‌گیری کند. بنابراین با چیدمانی مناسب ستون‌های لودسل - فلکسچر و به کمک روابط استاتیکی و دینامیکی حاکم، می‌توان مقادیر مؤلفه‌های نیرو و گشتاور بردار رانش را تعیین کرد [۴]. در طراحی ستون لودسل - فلکسچر، یکی دیگر از وظایف فلکسچر، حداقل نمودن اثر نیروهای خارج از محور بر لودسل است

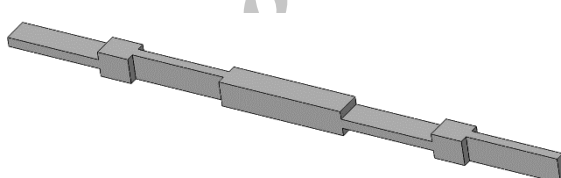
ساختار هندسی فلکسچر جدید پیشنهادی مطابق شکل ۴ است. در طراحی پیکربندی این فلکسچر، از ترکیبی از مقاطع مستطیلی شکل در طول آن استفاده شده است.



شکل ۲. فلکسچر دایروی و مستطیل حول محور جانبی Z



شکل ۳. فلکسچر دایروی و مستطیل شکل حول دو محور جانبی



شکل ۴. طرح فلکسچر پیشنهادی با ترکیبی از مقاطع مستطیلی شکل

سر آزاد تحلیل و نتایج را به صورت آزمون تجربی مقایسه نمودند. آنها از یک شتابسنج با جرم کم جهت نصب روی تیر و یک چکش ارتعاشی جهت ضربه‌زن استفاده و به روش تابع پاسخ فرکانسی، مقادیر سه فرکانس طبیعی اول را استخراج نمودند [۱۳]. جاورسکی و همکاران (۲۰۰۸) ارتعاشات آزاد یک تیر اویلر-برنولی با چند سطح مقطع پله‌ای را به روش ریلی-ریتز و المان محدود به دست آورده و نتایج را با آزمون تجربی به کمک تجهیزات شتابسنج و چکش محاسبه کردند [۱۴]. وانگ و همکاران (۲۰۱۳) روشی با نام مربعات دیفرانسیلی المان، برای تحلیل ارتعاشات آزاد تیرهای با چند سطح مقطع پله‌ای ارائه نموده و به منظور صحه‌گذاری روش خود، نتایج را با چند مرجع مختلف مقایسه کردند [۱۵]. در تمامی تحقیقات اخیر، ارتعاشات آزاد یک

همان‌گونه که گفته شد، یکی از ملاحظات اصلی طراحی فلکسچر، مسئله تعیین فرکانس طبیعی آن است. با توجه به ساختار هندسی فلکسچر پیشنهادی می‌توان فلکسچر را مشابه یک تیر با چند سطح مقطع مختلف در نظر گرفت. تحلیل فرکانس‌های ارتعاش عرضی و طولی تیرهای با سطح مقطع ثابت، در مراجع ارتعاشات در دسترس است [۱۰]. اما تحلیل تیرهای با سطح مقطع مختلف، در این مراجع وجود ندارد و می‌توان در این زمینه به مقالات علمی رجوع کرد. جانگ و همکاران (۱۹۸۹) فرکانس‌های عرضی پایین و بالای تیر با دو سطح مقطع پله‌ای را با همه شرایط مرزی کلاسیک و به روش حل دقیق و حل عددی تحلیل نمودند [۱۱-۱۲]. کوپلو و همکاران (۲۰۰۶) نیز حل دقیق تیر اویلر-برنولی با یک تغییر سطح مقطع و با شرایط مرزی دو

تحقیق، شناسایی و تعیین ملاحظات طراحی و ارائه روشی جهت طراحی بهینه فلکسچر یک سکوی تست شش مؤلفه‌ای می‌باشد. ساختار هندسی جدید فلکسچر که جهت برآورده ساختن همه ملاحظات طراحی سکوی تست شش مؤلفه‌ای پیشنهاد شده است به عنوان نوآوری این پژوهش محسوب می‌شود. با توجه به تطابق خوب بین نتایج تحلیل نظری و تجربی، طرح فلکسچر پیشنهادی، انتخاب مناسبی جهت استفاده در سکوی تست شش مؤلفه‌ای سامانه‌پیشran مدنظر می‌باشد.

۲. طرح فلکسچر پیشنهادی و ارائه ملاحظات طراحی

از جمله ملاحظات اصلی در طراحی فلکسچر سکوی تست، ماكزييم‌بودن نسبت انعطاف‌پذيری جانبی فلکسچر به انعطاف‌پذيری محوري آن است. هر چقدر اين نسبت بزرگتر باشد، خطاي كوييلينگ كوچكتر و فلکسچر طراحی شده مناسب‌تر است. يكى از روش‌های افزایش انعطاف‌پذيری جانبی، افزایش طول فلکسچر است. اما اين موضوع باعث افزایش انعطاف‌پذيری محوري نيز می‌شود و در نتیجه از يك حد معينی، اين افزایش طول تعیير چندانی در نسبت انعطاف‌پذيری جانبی به محوري به‌دنبال خواهد داشت. از طرف دیگر، افزایش طول سبب کاهش بار بحرانی کمانش خواهد شد. نکته دیگر اينکه افزایش انعطاف‌پذيری جانبی سبب کاهش فرکانس طبیعی جانبی فلکسچر خواهد شد. همان‌طور که مشاهده می‌شود، برآوردن اين موضوعات به صورت همزمان، کاملاً با هم در تعارض می‌باشند. بنابراین در اين مطالعه، مسئله به روش طراحی بهینه بررسی می‌شود. نخستین گام در مسئله طراحی بهینه تعیين قيدهای طراحی است. قيود طراحی را می‌توان به صورت روابط زير نشان داد. در روابط ۱ تا ۶ به ترتیب مقادیر حداقل نسبت انعطاف‌پذيری جانبی به محوري، حداکثر تعیير شکل محوري مجاز، حداقل مقدار فرکانس طبیعی عرضی تحت نیروی فشاری محوري ۹۰۰ نیوتون، حداقل بار بحرانی کمانش، حداقل تنش محوري و حداکثر طول مجاز کل فلکسچر ارائه شده است.

$$\frac{C_y - F_y}{C_x - F_x} \gg 2000 \quad (1)$$

$$\delta_{axial} \ll 0.25 \text{ mm} \quad (2)$$

$$\omega_n)_{lateral} \gg 100 \text{ Hz} \quad (3)$$

$$P_{critical})_{Buckling} \gg 1300 \text{ N} \quad (4)$$

تير با چند سطح مقطع پله‌ای بررسی شده است. اما چون فلکسچر سکوی تست تحت بارگذاري فشاری نيز قرار می‌گيرد، در اين مسئله تحليل ارتعاش جانبی فلکسچر تحت بارگذاري محوري انجام می‌گردد. يكى دیگر از ملاحظات اساسی طراحی، استخراج روابط تحليلي بار بحرانی کمانش فلکسچر است. با توجه به پيکربندی هندسي فلکسچر پیشنهادی در اين طرح، بدويهي است تعیين بار بحرانی کمانش آن از روابط کلاسيك اويلري با سطح مقطع ثابت امكان‌پذير نمي‌باشد. تيموشنكو تحليل ستون با دو مقطع پله‌ای را بهروش تحليلي انجام داده است [۱۶]. همچنان مطالعاتي در زمينه روش‌های حل عددی تفاضل محدود، المان محدود و روش شكل مدها ارتعاشي [۱۷] و روش تكراري تغييراتي [۱۸] برای تحليل کمانش تيرهاي با چند سطح مقطع انجام شده است. در تحقیقات متعدد انجام‌شده در زمينه تحليل کمانش الاستيک تيرهاي با چند سطح مقطع، از معادله ديفرانسيل مرتبه چهارم حاكم بر کمانش تير - ستون استفاده می‌شود، اما با توجه بر فرضيات حاكم بر هر مسئله، تفاوت اين روش‌ها در نحوه حل معادله ديفرانسيل آن است. در اين پژوهش، برای تعیين بار بحرانی کمانش، از روش مسئله مقدار ويژه استفاده شده است.

با استخراج روابط تحليلي مربوط به ساير الزامات طراحی شامل نسبت انعطاف‌پذيری خمسی به محوري فلکسچر، مقدار تنش مجاز و تغيير شكل‌های جانبی و محوري فلکسچر، كليه ملاحظات طراحی وارد مسئله بهينه‌سازی شده و در نهايیت ابعاد هندسي فلکسچر به دست می‌آيد. جهت مقاييسه نتایج حاصل از حل تحليلي مسئله طراحی بهينه فلکسچر، مسئله به روش المان محدود نيز تحليل می‌شود. بهمنظور صحه‌گذاري نتایج حاصل از مسئله طراحی بهينه و تحليل نظری، دو مورد از موضوعات مهم طراحی؛ يعنی فرکانس طبیعی عرضی آزاد و بار بحرانی کمانش فلکسچر به روش تجربی نيز اندازه‌گيری می‌شود. در آزمون تجربی برای تعیين فرکانس‌های ارتعاشي فلکسچر، از يك قطعه بسیار نازک و سبک پیزوسراميك برای اندازه‌گيری سه فرکانس طبیعی اول فلکسچر استفاده شده است. با توجه به اهميت تعیين بار بحرانی کمانش، در اين پژوهش دستگاهی به همین منظور طراحی و مقدار بار بحرانی کمانش به روش غيرمخرب ساتول اندازه‌گيری گردید. در مجموع با بررسی اقدامات گذشته در دنيا، می‌توان گفت که اطلاعات چندانی در زمينه طراحی فلکسچر سکوهای تست شش مؤلفه‌ای منتشر نشده است. بنابراین يكى از ويژگي‌های اين

پیکربندی این فلکسچر، ترکیبی از مقاطع مستطیلی شکل استفاده شده است. در طرح فلکسچر پیشنهادی، تغییرات سطح مقطع فلکسچر، در طول آن به صورت پله‌ای تغییر می‌کند. ابعاد بخش‌های مختلف فلکسچر، در شکل ۵ نمایش داده شده است. ضخامت و عرض بخش‌های اول و پنجم فلکسچر به ترتیب به طول‌های L_1 و L_3 با هم برابرند. این سطح مقطع‌ها، تحت عنوان سطح مقطع CS_1 نامگذاری می‌گردند. ضخامت و عرض بخش‌های دوم، چهارم و ششم فلکسچر به ترتیب به طول‌های L_2 و L_4 نیز با یکدیگر برابرند. این سطح مقطع‌ها، تحت عنوان سطح مقطع CS_2 نامگذاری می‌شوند. همچینین ضخامت و عرض بخش‌های سوم و هفتم فلکسچر به ترتیب به طول‌های L_3 و L_1 با یکدیگر برابرند. این سطح مقطع‌ها، تحت عنوان سطح مقطع CS_3 نامگذاری می‌گردند. در شکل ۶ ضخامت و عرض هر سه سطح مقطع نمایش داده شده است.

۱-۲. استخراج روابط تحلیلی انعطاف‌پذیری

برای استخراج رابطه تحلیلی انعطاف‌پذیری جانبی و محوری فلکسچر فرض می‌شود که شرط مرزی ابتدای فلکسچر به صورت گیردار و شرط انتهایی آن تنها قابلیت جابجایی در راستاهای y و z را داشته باشند.

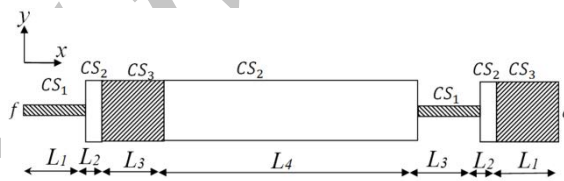
$$\sigma_{axial} \ll \frac{\sigma_y}{4} \quad (5)$$

$$L_{total} \ll 0.22 m \quad (6)$$

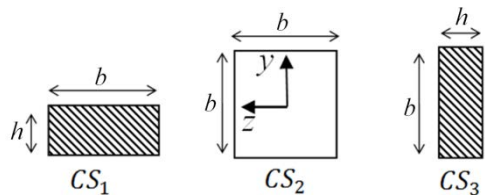
قیدهای طراحی، ناحیه قابل قبول در طراحی را معین می‌کنند. در این طرح با توجه به سطح نیروی رانش سامانه پیشران و با توجه به چیدمانی ستون‌های لودسل - فلکسچر، ماکزیمم مقدار نیروی محوری اعمال شده به فلکسچر برابر رابطه ۷ می‌باشد.

$$P_{axial} = 900 N \quad (7)$$

گفتنی است مقادیر فوق از نتایج تحلیل استاتیکی و دینامیکی سکوی تست استخراج شده‌اند. مثلاً هر چقدر ماکزیمم مجاز تغییر شکل محوری فلکسچر کمتر از مقدار مذکور باشد، تأثیر مطلوب‌تری بر سازگاری مشخصه‌های دینامیکی اجزای سکو بر هم خواهد داشت. همان‌طور که گفته شد، ساختار هندسی فلکسچر باید به‌گونه‌ای طراحی شود که کلیه الزامات فوق را برآورد. با پیاده‌سازی روابط تحلیلی مربوط به قیدهای فوق برای ساختارهای هندسی دایری شکل و مستطیلی ارائه شده در شکل ۲ مشخص گردید که این ساختارها نمی‌توانند قیدهای سکوی تست این مسئله را برآورده کنند. در این پژوهش، مطابق شکل ۴، فلکسچری با ساختار هندسی جدیدی پیشنهاد گردید که کلیه الزامات و قیدهای طراحی سکو را به خوبی برآورده سازد. در



شکل ۵. پیکربندی هندسی فلکسچر با هفت مقطع پله‌ای شکل



شکل ۶. معرفی ضخامت و عرض سطح مقطع‌های فلکسچر

$$U_{bending} = \int_0^L \frac{M_y^2}{2EI_y} dx + \int_0^L \frac{M_z^2}{2EI_z} dx \quad (9)$$

$$U_{shearing} = \int_0^L \frac{\alpha V_y}{2GA} dx + \int_0^L \frac{\alpha V_z}{2GA} dx \quad (10)$$

برای فلکسچری که تحت بارهای خمسی، برشی، پیچشی و محوری قرار می‌گیرد، انرژی کرنشی کل به صورت روابط ۸ تا ۱۲

بیان می‌شود:

$$U = U_{bending} + U_{shearing} + U_{torsion} + U_{axial} \quad (8)$$

این پژوهش خواهد بود. هر چقدر فرکانس طبیعی عرضی سازه فلکسچر از فرکانس تحریک سامانه پیشران دورتر باشد، فلکسچر طراحی شده مناسب‌تر خواهد بود [۱۴]. گفتنی است در این سکو، در حالت بحرانی یکی از فلکسچرها در بدترین حالت، تحت بار محوری کششی - فشاری ۹۰۰ نیوتون قرار می‌گیرد. اگر نیروی محوری بهصورت بار کششی وارد شود، فرکانس طبیعی تیر افزایش می‌یابد؛ زیرا نیروی کششی سبب افزایش سختی فلکسچر می‌شود. لذا تنها بررسی فرکانس طبیعی عرضی فلکسچر تحت بار فشاری ضرورت می‌یابد. تحلیل دینامیکی تیرهای با سطح مقطع متغیر^۳، یک مسئله سازه‌ای کلاسیک است که بیشتر محققان در حل مسائل تیرهای با سطح مقطع متغیر که تیر به حد کافی نازک و بلند باشد، مسئله را بهصورت تیر اویلر - برنولی فرض و حل معادله دیفرانسیل مرتبه چهار با ضرایب متغیر را تحلیل می‌کنند. براساس نظریه تیر تیموشنکو یا تیر خمیم، اگر ابعاد مقطع عرضی در مقایسه با طول تیر کوچک نباشد، باید آثار اینرسی دورانی^۴ و تعییر شکل برشی^۵ را در نظر گرفت. در نظریه تیر نازک یا تیر اویلر - برنولی، از آثار اینرسی دورانی و تعییر شکل برشی صرف‌نظر می‌شود. معادله دیفرانسیل حاکم بر ارتعاشات اجباری عرضی تیر اویلر - برنولی با سطح مقطع غیریکنواخت و با دامنه کم تحت بار محوری و جانبی بهصورت رابطه ۲۳ است [۱۴]:

$$\frac{\partial^2}{\partial x^2} \left(EI(x) \frac{\partial^2 w(x,t)}{\partial x^2} \right) + \rho A(x) \frac{\partial^2 w(x,t)}{\partial t^2} - P \frac{\partial^2 w(x,t)}{\partial t^2} = f(x,t) \quad (23)$$

بهطوری‌که در آن، E مدول یانگ^۶، $I(x)$ لنگ سطح مقطع عرضی تیر، P نیروی محوری و f نیروی جانبی وارد بر تیر است. برای ارتعاشات تیر یکنواخت تحت بار محوری، رابطه ۲۳ به رابطه ۲۴ تبدیل می‌شود:

$$EI \frac{\partial^4 w(x,t)}{\partial x^4} + \rho A \frac{\partial^2 w(x,t)}{\partial t^2} - P \frac{\partial^2 w(x,t)}{\partial x^2} = 0 \quad (24)$$

در نهایت مقدار $w(x)$ بهصورت رابطه ۲۵ استخراج می‌شود:

$$w(x) = c_1 \cos \beta_1 x + c_2 \sin \beta_1 x + c_3 \cosh \beta_2 x + c_4 \sinh \beta_2 x \quad (25)$$

در رابطه ۲۵، پارامتر β بهصورت رابطه ۲۶ تعریف می‌شود:

$$U_{torsion} = \int_0^L \frac{M_x}{2GJ} dx \quad (11)$$

$$U_{axial} = \int_0^L \frac{N_x^2}{2EA} dx \quad (12)$$

مطابق تئوری دوم کاستیگلیانو، برای محاسبه تعییر شکل مکانی و زاویه‌ای فلکسچر در نقطه انتهایی فلکسچر، می‌توان بهترتیب روابط ۱۳ و ۱۴ را نوشت:

$$u_e = \frac{\partial U}{\partial F_e} \quad (13)$$

$$\theta_e = \frac{\partial U}{\partial M_e} \quad (14)$$

بنابراین می‌توان رابطه نیرو بر حسب جابه‌جایی را بهصورت رابطه ۱۵ نوشت:

$$\{U_e\} = [C_e] \{L_e\} \quad (15)$$

در رابطه فوق U_e بردار تعییر شکل در نقطه e است که شامل بخش خطی و زاویه‌ای، رابطه ۱۶، می‌شود.

$$\{U_e\} = \{u_{ex}, \theta_{ex}, u_{ey}, \theta_{ey}, u_{ez}, \theta_{ez}\}^T \quad (16)$$

بردار L_e نیز شامل تمامی مؤلفه‌های نیرو و گشتاور در نقطه انتهایی فلکسچر و C_e نیز ماتریس نرمی فلکسچر می‌باشد. در استخراج روابط تحلیلی با در نظر گرفتن فلکسچر بهعنوان یک تیر نازک و بلند، از آثار برشی و پیچشی صرف‌نظر می‌شود. برای محاسبه تعییر شکل و چرخش موقعیت انتهایی فلکسچر می‌توان روابط ۱۷ تا ۲۲ را نوشت:

$$u_{ex} = C_{x-F_x} \cdot F_x \quad (17)$$

$$u_{ey} = C_{y-F_y} \cdot F_y \quad (18)$$

$$u_{ez} = C_{z-F_z} \cdot F_z \quad (19)$$

$$u_{e\theta_x} = 0 \quad (20)$$

$$u_{e\theta_y} = C_{\theta_y-F_z} \cdot F_z \quad (21)$$

$$u_{e\theta_z} = C_{\theta_z-F_y} \cdot F_y \quad (22)$$

با جایگذاری روابط تعییر شکل مکانی و زاویه‌ای فلکسچر در روابط فوق، روابط تحلیلی انعطاف‌پذیری فلکسچر در راستاهای مختلف بهدست خواهد آمد.

۲-۲. استخراج روابط تحلیلی ارتعاش عرضی

با توجه به انعطاف‌پذیری جانبی بالای فلکسچر، مقدار فرکانس طبیعی عرضی آن بهمراتب کمتر از راستای محوری آن است. بنابراین تعیین فرکانس طبیعی عرضی فلکسچر از نکات مهم در

۲۷ تعداد ۲۸ شرط مورد نیاز جهت استخراج ثابت‌های روابط ۲۹ تا ۳۳ حاصل می‌شود. با بهکارگیری معادلات فوق، در نهایت ۲۸ معادله و ۲۸ مجھول بهدست خواهد آمد. دستگاه معادلات نهایی، به شکل ماتریس رابطه ۴۰ نوشته می‌شود:

$$[M]_{28 \times 28} [A]_{28 \times 1} = [0]_{28 \times 1} \quad (40)$$

برای وجود جواب غیر بدیهی باید دترمینان ماتریس ضرایب را برابر صفر قرار داد. با محاسبه دترمینان ماتریس مذکور، معادله مشخصه فرکانس سیستم تعیین می‌شود که ریشه‌های آن همان فرکانس‌های طبیعی عرضی فلکسچر هستند.

۲-۳. استخراج روابط بار بحرانی کمانش

معادله دیفرانسیل اساسی حاکم بر کمانش الاستیک تیر - ستون، بدون نیروی جانبی در طول یک تیر با سطح مقطع ثابت، بهصورت رابطه ۴۱ است:

$$EI \frac{d^4 w(x)}{dx^4} + P \frac{d^2 w(x)}{dx^2} = 0 \quad (41)$$

فرض می‌شود:

$$k^2 = \frac{P}{EI} \quad (42)$$

با جایگذاری رابطه ۴۲ در رابطه ۴۱ می‌توان نوشت:

$$\frac{d^4 w}{dx^4} + k^2 \frac{d^2 w}{dx^2} = 0 \quad (43)$$

حل عمومی معادله ۴۳ بهصورت رابطه ۴۴ است:

$$W(x)_i = A_i \sin k_i x + B_i \cos k_i x + C x + D \quad (44)$$

با اعمال ۴ شرط مرزی برای فلکسچر دو سر گیردار و اعمال ۱۲ شرط میانی برای فلکسچر شکل ۱، و $W' = 0$ و $W'' = 0$ و تعداد ۱۶ معادله بهدست می‌آید.

معادلات نهایی به شکل ماتریس رابطه ۴۵ نوشته می‌شوند:

$$[M(k)]_{16 \times 16} [A]_{16 \times 1} = [0]_{16 \times 1} \quad (45)$$

مشابه مسئله مقدار ویژه، حداقل مقدار k که به ازای آن دترمینان $[M]$ برابر صفر می‌شود، در رابطه $k^2 = P/EI$ جایگذاری شده و بهکمک آن نیروی بحرانی کمانش بهدست می‌آید.

۴-۴. استخراج روابط تحلیل تنش فلکسچر

با توجه به نحوه چیدمانی ستون لودسل - فلکسچر در سکوی تست ششم‌مؤلفه‌ای، نیروهای جانبی در مقایسه با نیروی محوری

$$\beta_1^2, \beta_2^2 = \frac{P}{2EI} \pm \sqrt{\frac{P^2}{4E^2 I^2} + \frac{\rho A \omega^2}{EI}} \quad (26)$$

گفتنی است ثابت‌های c_1 تا c_4 از شرایط مرزی تعیین می‌شوند. با توجه به اینکه فلکسچر مسئله حاضر، دارای هفت مقطع پله‌ای در طول فلکسچر است، برای هر بخش با سطح مقطع ثابت، یک معادله جداگانه حاکم می‌شود. بنابراین برای هفت مقطع فلکسچر، هفت رابطه نوشته می‌شود:

$$W_1(x) = A_1 \cos \beta_1 x + B_1 \sin \beta_1 x + C_1 \cosh \beta_2 x + D_1 \sinh \beta_2 x \quad (27)$$

$$W_2(x) = A_2 \cos \beta_1 x + B_2 \sin \beta_1 x + C_2 \cosh \beta_2 x + D_2 \sinh \beta_2 x \quad (28)$$

$$W_3(x) = A_3 \cos \beta_1 x + B_3 \sin \beta_1 x + C_3 \cosh \beta_2 x + D_3 \sinh \beta_2 x \quad (29)$$

$$W_4(x) = A_4 \cos \beta_1 x + B_4 \sin \beta_1 x + C_4 \cosh \beta_2 x + D_4 \sinh \beta_2 x \quad (30)$$

$$W_5(x) = A_5 \cos \beta_1 x + B_5 \sin \beta_1 x + C_5 \cosh \beta_2 x + D_5 \sinh \beta_2 x \quad (31)$$

$$W_6(x) = A_6 \cos \beta_1 x + B_6 \sin \beta_1 x + C_6 \cosh \beta_2 x + D_6 \sinh \beta_2 x \quad (32)$$

$$W_7(x) = A_7 \cos \beta_1 x + B_7 \sin \beta_1 x + C_7 \cosh \beta_2 x + D_7 \sinh \beta_2 x \quad (33)$$

برای فلکسچر دو سر گیردار، شرایط مرزی بهصورت روابط ۳۴ و ۳۵ خواهد شد:

$$W(x)_{(x=0)} = W(x)_{(x=1)} = 0 \quad (34)$$

$$EI \frac{\partial W(x)}{\partial x}_{(x=0)} = EI \frac{\partial W(x)}{\partial x}_{(x=1)} = 0 \quad (35)$$

برای محل تقاطع هفت مقطع مستطیلی‌شکل، چهار شرط میانی زیر بسط داده می‌شود:

$$W_{(i)} = W_{(i+1)} \quad (36)$$

$$W'_{(i)} = W'_{(i+1)} \quad (37)$$

$$EI_{(i)} W''_{(i)} = EI_{(i+1)} W''_{(i+1)} \quad (38)$$

$$EI_{(i)} W'''_{(i)} = EI_{(i+1)} W'''_{(i+1)} \quad (39)$$

در روابط فوق مقدار $i=1, 2, 3, \dots, 6$ است. با اعمال چهار شرط مرزی از روابط ۳۴ و ۳۵ و بسط ۲۴ شرط میانی از روابط ۳۶ تا

دقت ۰/۰ گرم و اندازه‌گیری ابعاد هندسی فلکسچر به دست آمده است. در ادامه، با نوشتن یک کد برنامه‌نویسی و به کمک قاعدة محاسباتی بهینه‌سازی چند بعدی مقید، از روش مستقیم [۱۹]، ابعاد هندسی فلکسچر به دست می‌آید. در جدول ۲، مقادیر پارامترهای هندسی استخراج شده از مسئله طراحی بهینه فلکسچر آمده است.

جدول ۱. مشخصات استحکامی جنس فلکسچر

واحد	مقدار	خاصیت
گیگاپاسکال	۶۵	مدول الاستیک
-	۰/۳۳	نسبت پواسون
مگاپاسکال	۴۰/۷/۳۴	استحکام تسلیم
مگاپاسکال	۵۰/۸/۴۲	استحکام نهایی
کیلوگرم بر متر مکعب	۲۷۹۰	چگالی

جدول ۲. مقادیر پارامترهای هندسی فلکسچر بر حسب میلی‌متر

h	b	L_4	L_3	L_2	L_1	پارامتر
۳	۵	۸۰	۳۰	۱۰	۳۰	مقدار

جدول ۳. مقادیر پارامترهای اساسی طراحی فلکسچر

σ_{axial} [MPa]	P_{Buck} [N]	ω_n [Hz]	δ_{axial} [mm]	C_{y-Fy} $\frac{C_{y-Fy}}{C_{x-Fx}}$	پارامتر
۶۰	۱۶۶۲/۵	۲۷۴/۱	۰/۱۶۶	۳۸۹۳	تحلیلی
۶	۱۶۵۷/۲	۲۷۲/۷	۰/۱۸	۳۸۹۵/۶	المان محدود

در جدول ۳، نتایج مقادیر تحلیلی پارامترهای اساسی طراحی فلکسچر از مسئله طراحی بهینه ارائه شده است. به منظور مقایسه نتایج، در سطربعدی نتایج حاصل از حل المان محدود ارائه شده است. همان‌گونه که مشاهده می‌شود، طرح فلکسچر پیشنهادی، کلیه الزامات و قیدهای مسئله را برآورده می‌سازد. گفتنی است با توجه به تقارن فلکسچر طراحی شده، مقادیر C_{y-Fy} و C_{z-Fz} با هم برابرند. در شکل ۷، تصویر فلکسچر ساخته شده نمایش داده شده است. همان‌طور که مشاهده می‌شود جهت نصب فلکسچر به تکیه‌گاهها، دو بلوك به طرفين فلکسچر اضافه شده است.

ناچیز فرض می‌شوند. در واقع نیروهای جانبی کمتر از یک‌دهم درصد نیروی محوری می‌باشند. بنابراین برای محاسبه تنش‌های محوری، مقطع کوچکتر، ضعیفترین بخش فلکسچر در برابر بار محوری می‌باشد.

۳. روش طراحی بهینه و تعیین ابعاد هندسی فلکسچر

در مسئله طراحی بهینه، تابع هدف مناسب یکی از مهمترین گام‌های بهینه‌سازی است. هر مسئله بهینه‌سازی دارای تعدادی متغیر مستقل است. در اینجا متغیرهای طراحی با بردار n بعدی a_n نشان داده می‌شوند. پارامترهای هندسی L_1, L_2, L_3, L_4 مؤلفه‌های بردار a_n می‌باشند. هدف از بهینه‌سازی، تعیین متغیرهای طراحی است، به‌گونه‌ای که توابع هدف در محدوده‌ای مطلوب قرار بگیرند. تابع هدف بهینه‌سازی این مسئله، در برگیرنده شش تابع هدف است. محدودیت‌های مربوط به نسبت انعطاف‌پذیری جانبی به انعطاف‌پذیری محوری فلکسچر، تغییر شکل محوری، فرکانس طبیعی عرضی تحت بار محوری فشاری، بار بحرانی کمانشی، محدوده مجاز تنش و حداقل مجاز طول فلکسچر از توابع هدف بهینه‌سازی می‌باشد. گفتنی است طراحی بهینه به‌گونه‌ای انجام می‌شود که پس از تأمین همه محدودیتها، ماکریم‌شدن نسبت انعطاف‌پذیری جانبی به انعطاف‌پذیری محوری فلکسچر در درجه اول اهمیت قرار دارد. مثلاً اگر همه محدودیتها تأمین شود، اما به ازای تغییر یک محدودیتی خاص، فرکانس طبیعی یا بار بحرانی کمانش افزایش یابند، اما نسبت انعطاف‌پذیری کاهش یابد، این موضوع مطلوب مسئله طراحی بهینه نمی‌باشد. بنابراین می‌توان با تشکیل یک تابع هدف جدید به صورت ترکیب خطی از توابع هدف اصلی، فرایند طراحی را انجام داد. ماده انتخاب شده برای فلکسچر از جنس آلومینیوم سری ۷۰۰۰ با خواص مطابق جدول ۱، می‌باشد. مقادیر استحکامی این جدول، از نتایج اندازه‌گیری آزمون کشش ساده، توسط مرجع آزمایشگاهی ارائه شده است. همچنین مقدار چگالی سازه فلکسچر با اندازه‌گیری وزن آن توسط ترازوی دیجیتال^۸ با



شکل ۷. تصویر فلکسچر ساخته شده

همان طور که مشاهده می‌شود، مقادیر فرکانس طبیعی اول سه تئوری به هم نزدیک می‌باشند، اما اختلاف مقادیر در فرکانس‌های بالا، بیشتر می‌شود.

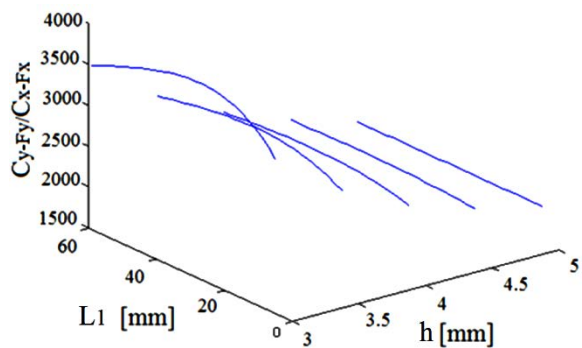
۴. صحه‌گذاری تجربی فرکانس طبیعی و کمانش

بهمنظور صحه‌گذاری نتایج تحلیل تئوری و اطمینان از فلکسچر طراحی شده، دو مورد از موضوعات مهم تحلیل فلکسچر؛ یعنی تعیین فرکانس طبیعی عرضی آزاد و کمانش فلکسچر به صورت تجربی بررسی می‌گردد.

۴-۱. اندازه‌گیری فرکانس طبیعی عرضی آزاد فلکسچر

در این پژوهش بهمنظور کاهش آثار وزن حسگر ارتعاشی بر مشخصه‌های دینامیکی فلکسچر، با توجه به وزن بسیار کم فلکسچر مسئله، برابر ۱۲ گرم، یک قطعه بسیار نازک و سبک پیزوسرامیک، روی سطح فلکسچر چسبانده می‌شود. این قطعه دارای پاسخ فرکانسی بالایی می‌باشد. ضخامت این قطعه برابر 0.073 میلی‌متر و ابعاد آن 4×8 میلی‌متر است. وزن این قطعه برابر 0.035 گرم است. حساسیت این قطعه، بیشتر از حساسیت کرنش‌سنج^{۱۱} است و سیگنال حاصله، کیفیت بهتری نسبت به مجموعه کرنش‌سنج و تجهیزات داده‌برداری آن دارد. به کمک نتایج حل المان محدود، محل نصب قطعه پیزوسرامیک تعیین و در موقعیت مطلوب نصب می‌شود. در شکل ۹، دستگاه آزمون تجربی نمایش داده شده است. همان‌طور که مشاهده می‌شود فلکسچر، به صورت دو سر گیردار، توسط دو گیره محکم نگه داشته می‌شود. خروجی قطعه پیزوسرامیک نصب شده روی فلکسچر، به یک شارژ آمپلی‌فایر^{۱۲} و سپس به یک اسیلوسکوپ دیجیتال^{۱۳} با قابلیت داده‌برداری $GS/s = 2$ متصل می‌گردد. با اعمال یک ضربه کوچک عمودی به وسط فلکسچر، سیگنال خروجی، توسط اسیلوسکوپ ثبت می‌شود. پس از ذخیره‌سازی داده‌ها، نحوه تغییرات سیگنال اندازه‌گیری شده مطابق شکل ۱۰ خواهد بود. در این شکل تغییر شکل‌های نرمال شده^{۱۴} فلکسچر بر حسب زمان، در موقعیت نصب قطعه پیزوسرامیک نمایش داده شده است. با استفاده از دستور تبدیل فوریه سریع^{۱۵} موجود در نرم‌افزار متلب^{۱۶}، برای داده‌های فوق، پاسخ فرکانسی فلکسچر به دست می‌آید. در شکل ۱۱، نتیجه حاصل از تبدیل فوریه سریع سیگنال‌های نرمال شده در حوزه فرکانس ارائه شده است.

۳-۳. بررسی اثر تغییر h و L_1 بر نسبت انعطاف‌پذیری
بهمنظور اثبات بهینه‌بودن فرایند طراحی، در شکل ۸ نشان داده می‌شود که مقادیر نسبت انعطاف‌پذیری جانبی به محوری فلکسچر طراحی شده، در محدوده ماقزیم می‌باشد. با کاهش ضخامت h از ۵ به ۳ میلی‌متر، ماقزیم مقادیر نسبت انعطاف‌پذیری جانبی به محوری فلکسچر، بیش از دو برابر افزایش می‌یابد. مقادیر ماقزیم نسبت انعطاف‌پذیری نیز در جایی است که طول L_1 تقریباً ۳۰ میلی‌متر می‌باشد.



شکل ۸ اثر تغییر طول L_1 و ضخامت t_1 بر نسبت انعطاف‌پذیری

۲-۳. تحلیل ارتعاشات عرضی آزاد فلکسچر

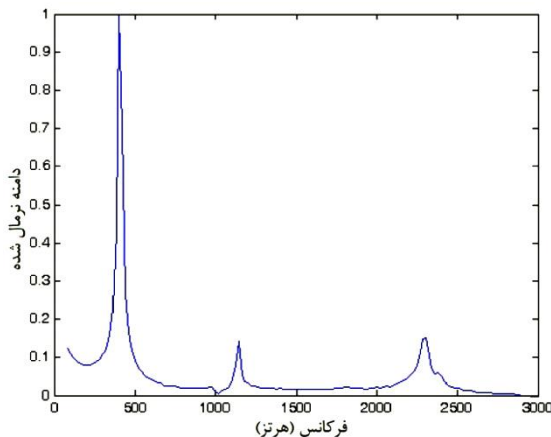
جهت مقایسه نتایج تحلیل نظری با نتایج تحلیل تجربی، در این بخش ارتعاشات عرضی آزاد فلکسچر مورد بررسی قرار می‌گیرد. همچنین بهمنظور بررسی درستی مقادیر حاصل از حل دقیق تئوری اویلر - برنولی، نتایج با حل المان محدود اویلر - برنولی مقایسه می‌گردد. برای بررسی آثار ناشی از تغییر شکل‌های برشی فلکسچر مورد تحقیق، مقادیر سه فرکانس طبیعی اول حل اویلر - برنولی با حل المان محدود تئوری تیموشنکو به کمک نرم‌افزار المان محدود انسیس^۹ مقایسه می‌شود. با انتخاب المان تیر^{۱۰} و تنظیمات مربوط به تغییر شکل‌های برشی، مسئله با ۱۱۱ گره و ۱۱۰ المان، مدل‌سازی می‌گردد. در جدول ۴، مقادیر سه فرکانس طبیعی اول تیر اویلر - برنولی به روش تحلیلی، اویلر - برنولی و تیموشنکوی المان محدود ارائه شده است.

جدول ۴. مقایسه نتایج حاصل از روش تحلیلی و المان محدود (هر تر)

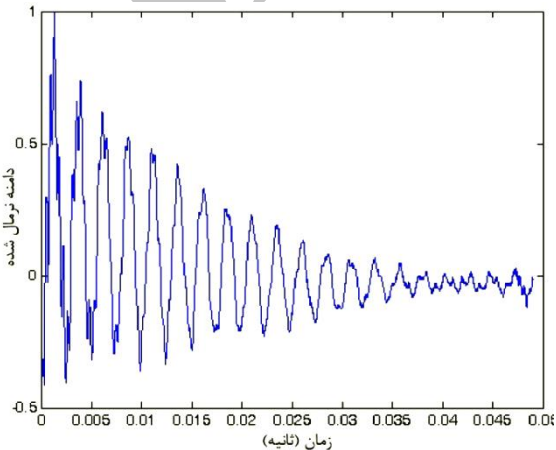
تئوری	اول	دوم	سوم
اویلر تحلیلی	$1114/5$	$405/6$	$2219/4$
اویلر المان محدود	$1113/9$	$404/75$	$2216/6$
تیموشنکو المان محدود	$1108/5$	$403/62$	$2296/3$



شکل ۹. مجموعه تجهیزات آزمون تجربی تعیین فرکانس طبیعی فلکسچر



شکل ۱۱. پاسخ فرکانسی جایه‌جایی‌های نرمال شده فلکسچر



شکل ۱۰. نحوه تغییر شکل‌های نرمال شده فلکسچر بر حسب زمان

می‌شود [۲۰]. عدم تطابق کامل نتایج با یکدیگر در جدول ۶ می‌تواند ناشی از خطای اندازه‌گیری چگالی تیر، مدول یانگ، عدم صلبیت کامل شرایط تکیه‌گاهی در عمل و حذف آثار میرایی ساختاری فلکسچر در مدلسازی تئوری باشد. در مجموع می‌توان نتیجه گرفت که تطابق خوبی بین تحلیل تئوری و تجربی در سه فرکانس طبیعی اول فلکسچر برقرار است. بنابراین می‌توان نسبت به فرض اویلر-برنولی استفاده شده در روش تحلیل تئوری مسئله اطمینان حاصل نمود.

جدول ۵. نتایج آزمون تجربی تعیین فرکانس طبیعی فلکسچر (هرتز)

سوم	دوم	اول
۲۳۰.۳	۱۱۲۱	۴۰.۲

همان‌طور که در شکل دیده می‌شود، تغییرات پاسخ فرکانسی در محدوده مورد بررسی دارای سه پیک است. این پیک‌ها بیانگر سه فرکانس طبیعی اول فلکسچر طراحی شده است. در جدول ۵ نتایج حاصل از آزمون تجربی تعیین فرکانس طبیعی فلکسچر ارائه شده است. خطای مقادیر حاصل از حل تئوری نسبت به آزمون تجربی، برحسب درصد، در جدول ۶ بیان شده است. همان‌طور که مشاهده می‌شود، نتایج تئوری تیموشنسکو، در مود اول و سوم مطابقت خوبی با آزمون تجربی دارد. گفتنی است که تئوری کلاسیک تیر اویلر-برنولی، فرکانس‌های ارتعاشی مودهای پایین را به صورت مطلوبی پیش‌بینی می‌کند، اما این تئوری، در مودهای بالاتر و جایی که آثار تغییر شکل برشی و اینرسی دورانی اهمیت دارد دقت کمتری دارد، بنابراین در این موارد، در صورت لزوم تئوری تیر تیموشنسکو استفاده

دیجیتال^{۱۸} بیتی با قابلیت تفکیک پذیری ۲۰/۰۰۰ تقسیم‌بندی جهت داده‌برداری از لودسل استفاده شده است. جهت اندازه‌گیری بار بحرانی کمانش فلکسچر طراحی شده، از روش ساتول^{۱۹} استفاده می‌شود. نمودار ساتول یک روش غیرمخرب برای آزمایش نیروی بحرانی کمانش ستون‌ها است. بهمنظور ترسیم نمودار ساتول، فلکسچر تحت بارگذاری‌های محوری متواالی قرار می‌گیرد و با افزایش بار محوری P ، به ازای هر مقدار از بار محوری، میزان جابه‌جایی عرضی فلکسچر V_m یادداشت می‌شود. در شکل ۱۲، تصویر فلکسچر نصب شده روی دستگاه اندازه‌گیری بار بحرانی کمانش نشان داده شده است. همچنین از یک ساعت انديکاتور جهت اندازه‌گیری جابه‌جایی عرضی فلکسچر استفاده شده است.

جدول ۶. مقایسه مقدار خطای تحلیل‌های تئوری نسبت به آزمون تجربی

نوع تحلیل	اول	دوم	سوم
حل المان محدود تیموشنکو	۰/۶۰	۱/۱۱	۰/۲۹
حل المان محدود اوبلر-برنولی	۰/۸۸	۰/۶۳	۰/۵۹
حل دقیق اوبلر-برنولی	۱/۱۰	۰/۵۸	۰/۷۱

۴-۲. اندازه‌گیری بار بحرانی کمانش فلکسچر

با توجه به اهمیت تعیین بار بحرانی کمانش فلکسچر در این تحقیق، دستگاهی بهمین منظور طراحی گردید. دستگاه مذکور مجهز به یک لودسل^{۱۷} با ظرفیت ۲۰۰ کیلوگرم و میزان خطای غیر خطی ۰/۰۳ درصد می‌باشد. همچنین از یک نشان‌دهنده



شکل ۱۲. تجهیزات آزمون تجربی تعیین بار بحرانی کمانش فلکسچر

برخی از سکوهای تست موجود در دنیا، نتوانستند الزامات طراحی این سکو را برآورده سازند، فلکسچری با ساختار هندسی جدید پیشنهاد گردید. با استخراج روابط تحلیلی و تعیین توابع هدف و قیدهای طراحی، به‌کمک قاعدة محاسباتی بهینه‌سازی چندبعدی مقید از روش مستقیم، ابعاد هندسی فلکسچر مذکور بدست آمد. بهمنظور صحه‌گذاری فرایند طراحی فلکسچر، مسئله به‌کمک نرم‌افزار المان محدود انسیس مدل‌سازی شد و نتایج با حل تحلیلی مقایسه گردید. با تغییر پارامترهای هندسی L_1 و h و a نتایج با حل آن بر نسبت انعطاف پذیری جانبی فلکسچر، اثبات گردید که فلکسچر طراحی شده ابعاد بهینه‌ای دارد. با مقایسه نتایج تحلیل تئوری - تجربی فرکانس طبیعی عرضی فلکسچر، تأیید گردید که می‌توان به فرض اوبلر-برنولی استفاده شده در روش حل تحلیلی مسئله اطمینان حاصل نمود. در ادامه، نتایج تحلیل تئوری تعیین

با ترسیم مقادیر P/V_m بر روی محور x و V_m بر روی محور y ، و گذراندن یک خط راست از نقاط به‌دست آمده، نمودار ساتول به‌دست خواهد آمد که با محاسبه شبیه خط، مقدار بار بحرانی کمانش فلکسچر برابر ۱۴۵۰ نیوتون خواهد شد. مقدار نیروی بحرانی کمانش تئوری، ۱۴/۳ درصد نسبت به مقدار تجربی خط دارد.

۵. نتیجه‌گیری

فلکسچرها به عنوان لولای انعطاف‌پذیر، یکی از اجزای اصلی سکوهای تست پیشran محسوب می‌شوند. در این مقاله ابتدا ملاحظات اساسی در فرایند طراحی فلکسچر برای یک سکوی تست شش مؤلفه‌ای خاص شناسایی گردید. با توجه به اینکه ساختار هندسی فلکسچرهای دایروی و مستطیلی شکل متداول در

تحلیل تئوری و تجربی، طرح فلکسچر پیشنهادی انتخاب مناسبی برای استفاده در سکوی تست سامانهٔ پیشران مدنظر می‌باشد.

بار بحرانی کمانش فلکسچر با آزمون تجربی مقایسه شد. با توجه به برآورده نمودن همزمان ملاحظات طراحی و تطابق بین نتایج

۶. مأخذ

- [1] Gligorijević, Nikola, Saša Živković, Sredoje Subotić, Stevan Kozomara, Momčilo Nikolić, and Slobodan Čitaković. "Side force determination in the rocket motor thrust vector control system." *Scientific Technical Review* 63, no. 2 (2013): 27-38.
- [2] Runyan R. B., J. P. Rynd, J. F. Seely, "Thrust Stand Design Principles", *AEDC Group, Tennessee*, AIAA-92-3976, 1992.
- [3] Ankeney, D. P., and C. E. Woods. *Design criteria for large accurate solid-propellant static-thrust stands*. No. NOTS-TP-3240. NAVAL ORDNANCE TEST STATION CHINA LAKE CA, 1963.
- [4] Zhu, Chunmei, and Xiaoli Xu. "The dynamic measurement of thrust misalignment in solid rocket motors based on load identification technique." In *Electronic Measurement & Instruments, 2009. ICEMI'09. 9th International Conference on*, pp. 2-544. IEEE, 2009.
- [5] Brimhall, Zack N., Joseph P. Atkinson, Daniel R. Kirk, and Henry G. Peebles. "Design of a Novel Six Degree of Freedom Solid Rocket Motor Test Stand." *Florida Institute of Technology, Melbourne, FL* 32901 (2007).
- [6] Lobontiu, Nicolae. *Compliant mechanisms: design of flexure hinges*. CRC press, 2002.
- [7] Yang, Chunhui. "Calculation and analysis of parabolic flexure hinge." In *Measurement, Information and Control (MIC), 2012 International Conference on*, vol. 1, pp. 5-8. IEEE, 2012.
- [8] Acer, Merve, and Asif Sabanovic. "Comparison of circular flexure hinge compliance modeling methods." In *Mechatronics (ICM), 2011 IEEE International Conference on*, pp. 271-276. IEEE, 2011.
- [9] Ramasmavi, M.A., Alvi, F.S., Krothapalli, A., Special 6-component Jet Rig Balance for Studying New Thrust Vectoring Concepts,
- [10] Rao S.S., *Mechanical Vibration*, 5th Edition, Prentice Hall, 2010.
- [11] Jang, S. K., and C. W. Bert. "Free vibration of stepped beams: exact and numerical solutions." *Journal of sound and vibration* 130, no. 2 (1989): 342-346.
- [12] Jang, S. K., and C. W. Bert. "Free vibration of stepped beams: exact and numerical solutions." *Journal of sound and vibration* 130, no. 2 (1989): 342-346.
- [13] Koplow, Michael A., Abhijit Bhattacharyya, and Brian P. Mann. "Closed form solutions for the dynamic response of Euler–Bernoulli beams with step changes in cross section." *Journal of Sound and Vibration* 295, no. 1 (2006): 214-225.
- [14] Jaworski, J. W., and E. H. Dowell. "Free vibration of a cantilevered beam with multiple steps: Comparison of several theoretical methods with experiment." *Journal of sound and vibration* 312, no. 4 (2008): 713-725.
- [15] Wang, Xinwei, and Yongliang Wang. "Free vibration analysis of multiple-stepped beams by the differential quadrature element method." *Applied Mathematics and Computation* 219, no. 11 (2013): 5802-5810.
- [16] Timoshenko, S. P., J. M. Gere, *Theory of Elastic Stability*, New York: Mc-Graw Hill, 1961.
- [17] Rahai, A. R., and S. Kazemi. "Buckling analysis of non-prismatic columns based on modified vibration modes." *Communications in Nonlinear Science and Numerical Simulation* 13, no. 8 (2008): 1721-1735.
- [18] Coşkun, Safa Bozkurt, and Mehmet Tarık Atay. "Determination of critical buckling load for elastic columns of constant and variable cross-sections using variational iteration method."

- Computers & Mathematics with Applications* 58, no. 11 (2009): 2260-2266.
- [19] Chapra, S. C., R. P. Canale, *Numerical Methods for Engineers*, 6th Edition, McGraw-Hill, 2009.
- [20] Sarigül, A. S., and G. Aksu. "A finite difference method for the free vibration analysis of stepped Timoshenko beams and shafts." *Mechanism and machine theory* 21, no. 1 (1986): 1-12.

بی‌نوشت

-
- 1. thrust vector control
 - 2. thrust vector misalignment
 - 3. load cell- flexure column
 - 4. variable stepped beams
 - 5. rotary inertia
 - 6. transverse shear deformation
 - 7. Youngs modulus
 - 8. AND EK-600 i
 - 9. Ansys 10
 - 10. Beam 3
 - 11. strain gage
 - 12. charge amplifier
 - 13. Tektronix TDS-2024C
 - 14. normalized amplitude
 - 15. FFT
 - 16. Matlab software
 - 17. Bongshin DBBP-200
 - 18. Bongshin BS-7300
 - 19. Southwell